

ОПТИМАЛЬНОЕ УПРАВЛЕНИЕ
ДВИЖЕНИЕМ СИСТЕМЫ «ТИПА МАЯТНИКА»
ПЕРЕМЕЩЕНИЕМ ТОЧКИ ПОДВЕСА

Л. Д. АКУЛЕНКО, Ю. Р. РОЦИН

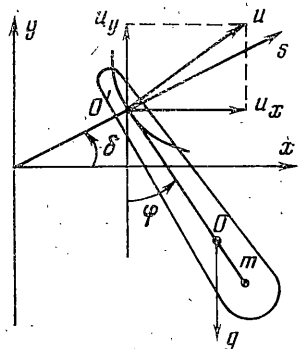
(Москва)

Проводится асимптотическое исследование задачи оптимального управления колебаниями и вращениями плоского маятника. В качестве управляющего воздействия берется ускорение точки подвеса. В частности, рассмотрен случай, когда ускорение направлено вдоль прямой, наклоненной под произвольным углом к горизонту. При этом предполагается, что управление мало по сравнению с ускорением сил тяжести, а временной интервал так велик, что энергия колебаний или вращений успевают измениться существенно.

1. **Постановка задачи.** Исследуется вначале управляемое движение системы, изображенной на фиг. 1, для случая, когда точка подвеса перемещается вдоль прямой $O's$. Уравнение движения математического маятника имеет вид

$$\varphi'' + gl^{-1} \sin \varphi = -s'' l^{-1} \cos(\varphi - \delta), \quad \varphi(t_0) = \varphi_0, \quad \dot{\varphi}(t_0) = \dot{\varphi}_0 \quad (1.1)$$

Здесь φ — угловое отклонение от вертикали, t_0 , φ_0 , $\dot{\varphi}_0$ — начальные данные, l — длина маятника, предполагаемая постоянной, g — ускорение сил тяжести, s'' — ускорение точки подвеса вдоль направляющей, наклоненной под углом δ к горизонту. Предполагается, что величина задаваемого ускорения удовлетворяет условию $|s''| \leq w \ll g$.



Фиг. 1

Введением безразмерной независимой переменной $\theta = (g/l)^{1/2} t$ уравнение (1.1) приводится к виду

$$\varphi'' + \sin \varphi = -\epsilon u \cos(\varphi - \delta), \quad \varphi(\theta_0) = \varphi_0, \quad \varphi'(\theta_0) = (l/g)^{1/2} \dot{\varphi}_0 \quad (1.2)$$

Здесь введено обозначение $\epsilon u = s''/g = s''/l$, где ϵ — малый параметр, а $u \sim 1$. Из уравнения следует, что если в качестве управления берется ускорение точки подвеса, то движение системы от массы маятника m не зависит.

Для удобства дальнейшего исследования совершается переход к переменным «энергия — фаза» при помощи замены $\varphi = \varphi_{(0)}(\psi, E)$, $\varphi' = \varphi_{(0)'}(\psi, E)$, где $\varphi_{(0)}$, $\varphi_{(0)'}$ — известное общее решение порождающего уравнения. Здесь E — энергия колебаний или вращений, деленная на $mg l$, $\psi = \omega(E)(\theta - \theta_0) + \psi_0$ — фаза, ω — частота. Указанное общее решение может быть записано при помощи эллиптических функций [1-3].

Для новых переменных E , ψ можно получить искомые уравнения на основе известных [1, 2] интегралов невозмущенного движения

$$E' = -\varepsilon u \varphi' \cos(\varphi - \delta), \quad E(\theta_0) = E_0 = \frac{1}{2} \varphi_0'^2 - \cos \varphi_0$$

$$\psi' = \omega(E) - \varepsilon u \varphi' \cos(\varphi - \delta) \int \left(\frac{\omega'}{\varphi'} - \frac{\omega}{\varphi'^2} \frac{\partial \varphi'}{\partial E} \right) d\varphi, \quad \psi(\theta_0) = \psi_0$$

$$\Pi(E) = \oint \frac{d\varphi}{\varphi'}, \quad \varphi'(E, \varphi) = \pm [2(E + \cos \varphi)]^{1/2} \quad (1.3)$$

Здесь $\varphi' = d\varphi/d\theta$, $\omega' = d\omega/dE$; функция φ' знакопостоянна в случае вращений, т. е. при $E > 1$ и меняет знак в точках $\pm \varphi_1 = \pm \arccos(-E)$ в режиме колебаний, т. е. при $-1 \leq E < 1$.

Для системы (1.3) ставятся следующие задачи оптимального управления:

1. Задача [3] с фиксированным моментом Θ

$$\pm E(\Theta) \rightarrow \min, \quad |u| \leq 1, \quad \Theta \sim \varepsilon^{-1} \quad (E \geq -1) \quad (1.4)$$

2. Задача типа оптимального быстродействия

$$E(\theta_1) = E_1, \quad \varepsilon \theta_1 \rightarrow \min, \quad |u| \leq 1 \quad (E_1 \geq -1) \quad (1.5)$$

Далее предполагается, что при любом $\varepsilon > 0$ поставленные задачи имеют решения. Тогда для них справедлив принцип максимума [4]. Если особые управления отсутствуют, то функция

$$u^* = V(E, \psi, p, q) =$$

$$= \text{sign} \left\{ \varphi' \cos(\varphi - \delta) \left[p + q \int \left(\frac{\omega'}{\varphi'} - \frac{\omega}{\varphi'^2} \frac{\partial \varphi'}{\partial E} \right) d\varphi \right] \right\} = -\text{sign } H^* \quad (1.6)$$

есть оптимальное управление. Здесь p и q — сопряженные E и ψ переменные, удовлетворяющие уравнениям

$$\frac{dp}{d\theta} = -\varepsilon \frac{\partial H}{\partial E} \Big|_v - \omega' q = -\varepsilon \frac{\partial H^*}{\partial E} - \omega' q$$

$$\frac{dq}{d\theta} = -\varepsilon \frac{\partial H}{\partial \psi} \Big|_v = -\varepsilon \frac{\partial H^*}{\partial \psi} \quad (1.7)$$

и условиям трансверсальности на правом конце для задач 1 и 2 соответственно

$$1) p(\Theta) = \mp 1, \quad q(\Theta) = 0$$

$$2) p(\theta_1) = -\lambda, \quad q(\theta_1) = 0, \quad H^*(\theta_1) = 1 \quad (1.8)$$

Если решения краевых задач, соответствующих 1 и 2, единственны, то они дают решения поставленных задач оптимального управления. Однако в рассматриваемых случаях малых управляющих воздействий на большом $\sim \varepsilon^{-1}$ интервале времени процесса управления имеет место существенная неединственность [3], т. е. краевые задачи принципа максимума допускают много решений, число которых $\sim [\varepsilon^{-1}]$.

2. Приближенное решение задач оптимального управления. Для решения краевых задач в первом приближении по малому параметру ε применяется методика усреднения, развитая в [3]. Нужно отметить, что система (1.3), (1.7) не является стандартной системой с вращающейся фазой [4]. Однако из того факта, что переменная E на всем интервале ограничена, т. е. изменяется со скоростью $\sim \varepsilon$, из второго уравнения (1.7) и из нулевых краевых условий для q (1.8) следует, что $q \sim \varepsilon$, так как среднее значение правой части по ψ указанного уравнения равно нулю. Следовательно, со-

пряженная переменная p — медленная и к системе (1.3), (1.7) применима методика усреднения по фазе ψ . Так как величина $p \sim 1$ и коэффициент при q в (1.6) также порядка единицы, то в первом приближении

$$u^* = -\text{sign} [p\varphi' \cos(\varphi - \delta)] \quad (2.1)$$

т. е. имеет место локальная оптимальность управления. Среднее значение q можно положить равным нулю. В этом случае переменная p сохраняет знак.

В результате для среднего значения энергии ξ получается уравнение первого приближения

$$d\xi / d\tau = \text{sign} \eta \langle |\varphi' \cos(\varphi - \delta)| \rangle, \quad \xi(\tau_0) = E_0 \quad (2.2)$$

Здесь $\tau = \epsilon\theta$, η — среднее значение p , а угловые скобки означают усреднение по ψ при фиксированных других аргументах.

Если ставится задача 1, то $\text{sign} \eta = \mp 1$; для задачи быстрогодействия 2 $\text{sign} \eta = \text{sign}(E_1 - E_0)$. Второй сомножитель в правой части уравнения (2.2) в режиме вращений, т. е. при $\xi > 1$ ($\varphi' \geq \text{const} > 0$), определяется соотношением

$$\begin{aligned} I_r(\xi) &= \frac{1}{2\pi} \int_0^{2\pi} |\varphi' \cos(\varphi - \delta)| d\psi = \frac{1}{\Pi_r(\xi)} \int_0^{\Pi_r} |\cos(\varphi - \delta)| \varphi' d\theta = \\ &= \frac{\omega_r(\xi)}{2\pi} \int_0^{2\pi} |\cos(\varphi - \delta)| d(\varphi - \delta) = \frac{2}{\pi} \omega_r(\xi) = \frac{2}{rK(r)} \end{aligned} \quad (2.3)$$

Здесь $r = [2 / (\xi + 1)]^{1/2} < 1$ — модуль эллиптического интеграла первого рода K , $\Pi_r(\xi) = 2\pi / \omega_r$ — период вращательного движения. Важно отметить, что функция I_r не зависит от параметра задачи δ .

В режиме колебаний, т. е. при $-1 \leq \xi < 1$, скорость φ' изменяет знак в точках $\pm\varphi_1 = \pm \arccos(-\xi)$. Функция $I_v(\xi, \delta)$ определяется соотношением

$$\begin{aligned} I_v(\xi, \delta) &= \frac{1}{2\pi} \int_0^{2\pi} |\cos(\varphi - \delta)| |\varphi'| d\psi = \\ &= \frac{2}{\Pi_v(\xi)} \int_{-\varphi_1}^{\varphi_1} |\cos(\varphi - \delta)| d\varphi = \frac{2}{\Pi_v(\xi)} \int_{-\varphi_1 - \delta}^{\varphi_1 - \delta} |\cos x| dx \end{aligned} \quad (2.4)$$

Здесь $\Pi_v(\xi)$ — период колебаний, $\Pi_v = 4K(v)$, $v = [(\xi + 1)/2]^{1/2} < 1$ — модуль. В общем случае выражение для функции I_v имеет довольно громоздкий вид; разложением $|\cos x|$ в ряд Фурье для нее можно получить выражение

$$I_v(\xi, \delta) = \frac{8}{\pi \Pi_v(\xi)} \left[\varphi_1(\xi) + \sum_{j=1}^{\infty} \frac{(-1)^j}{j(4j^2 - 1)} \sin 2j\varphi_1(\xi) \cos 2j\delta \right] \quad (2.5)$$

Следует отметить, что функции $I_{r,v}$ строго положительны для $\xi \in (-1, 1)$ и $\xi > 1$ при любых δ ; I_v периодична по δ с постоянным периодом, равным π .

При помощи выражений (2.3) — (2.5) может быть построено искомое решение, так как уравнение (2.2) допускает разделение переменных

$$\int_{E_0} \frac{d\xi'}{I(\xi', \delta)} = (\tau - \tau_0) \text{sign} \eta, \quad \xi \in [E_0, \xi^*], \quad \tau \in [\tau_0, \tau^*] \quad (2.6)$$

Здесь для задачи 1 с функционалом (1.4) $\xi^* = E_{\max} + O(\varepsilon)$ или $\xi^* = E_{\min} + O(\varepsilon)$, $\tau^* = \varepsilon\theta$, согласно (1.8). Для задачи быстрогодействия (1.5) $\xi^* = E_1$, $\tau^* = \varepsilon\theta_{1\min} + O(\varepsilon)$. Формула (2.6) связывает конечные значения ξ и τ : $\Phi(\xi^*, \tau^*, \delta) = 0$. Таким образом, приближенные решения поставленных задач можно считать построенными.

Представляет интерес исследовать зависимость $\xi^*(\delta)$ для задачи с фиксированным временем и $\tau^*(\delta)$ для задачи быстрогодействия. Во-первых, эти функции периодичны по δ с периодом, равным π , и непрерывно дифференцируемы в рассматриваемых областях. Далее, в режиме вращения при E_0 , $\xi^* > 1$ на основании (2.3) функция I , от δ не зависит. Поэтому величины ξ^* и τ^* для задач (1.4) и (1.5) соответственно от δ также не зависят.

Пусть теперь $-1 < E_0$, $\xi^* < 1$, т. е. рассматривается режим колебаний; тогда для непрерывных производных $d\xi^*/d\delta$ и $d\tau^*/d\delta$ можно получить выражения

$$\frac{d\xi^*}{d\delta} = I(\xi^*, \delta) \int_{E_0}^{\xi^*} \frac{\partial I}{\partial \delta} I^{-2}(\xi, \delta) d\xi \quad (2.7)$$

$$\frac{d\tau^*}{d\delta} = -\text{sign}(E_1 - E_0) \int_{E_0}^{E_1} \frac{\partial I}{\partial \delta} I^{-2}(\xi, \delta) d\xi$$

Из (2.7) следует, что при $\delta = 0$, $\pi/2$ указанные производные обращаются в нуль, так как

$$\frac{\partial I}{\partial \delta} = \frac{2}{\Pi_v(\xi)} [|\cos(\varphi_1 + \delta)| - |\cos(\varphi_1 - \delta)|] \quad (2.8)$$

Таким образом, точки $\delta = 0$, $\pi/2$ являются подозрительными на экстремум. Дифференцируя полученные кусочно-гладкие функции еще раз по δ , находим, что знак второй производной

$$\frac{\partial^2 I}{\partial \delta^2} = -\frac{2}{\Pi_v(\xi)} [\sin(\varphi_1 + \delta) \text{sign} \cos(\varphi_1 + \delta) + \sin(\varphi_1 - \delta) \text{sign} \cos(\varphi_1 - \delta)] \quad (2.9)$$

определяется величиной в квадратных скобках.

Для подозрительной точки $\delta = 0$ на основании (2.9) получается выражение

$$I_{\delta^2}''(\xi, 0) = -4\Pi_v^{-1}(\xi) \sin \varphi_1 \text{sign} \cos \varphi_1$$

из которого следует, что $I_{\delta^2}''(\xi, 0) < 0$ для $0 < \varphi_1 < \pi/2$ ($-1 < E_0$, $\xi^* < 0$) и $I_{\delta^2}''(\xi, 0) > 0$ для $\pi/2 < \varphi_1 < \pi$ ($0 < E_0$, $\xi^* < 1$). Таким образом, функции $\xi^*(\delta)$ и $\tau^*(\delta)$ минимальны или максимальны по δ при $\delta = 0$, если ξ изменяется в указанных пределах, а максимальное и минимальное значения функции $I(\xi, \delta)$ равны

$$\max_{\delta} I(\xi, \delta) = I(\xi, 0) = 4\Pi_v^{-1}(\xi) \sin \varphi_1(\xi) = 4\Pi_v^{-1}(\xi) \sqrt{1 - \xi^2} \quad (-1 < \xi < 0)$$

$$\min_{\delta} I(\xi, \delta) = I(\xi, 0) = 4\Pi_v^{-1}(\xi) (2 - \sin \varphi_1(\xi)) = 4\Pi_v^{-1}(\xi) (2 - \sqrt{1 - \xi^2}) \quad (0 < \xi < 1) \quad (2.10)$$

Аналогично для подозрительной точки $\delta = \pi/2$ на основании (2.9) получается выражение

$$I_{\delta^2}''(\xi, \pi/2) = 4\Pi_v^{-1}(\xi) \cos \varphi_1 \text{sign} \sin \varphi_1$$

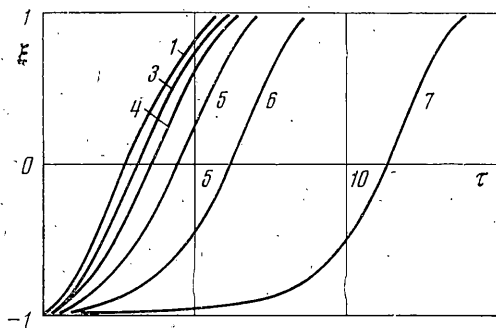
из которого следует, что $I_{\delta}''(\xi, \pi/2) < 0$ для $\pi/2 < \varphi_1 < \pi$ ($0 < E_0, \xi^* < 1$) и $I_{\delta}''(\xi, \pi/2) > 0$ для $0 < \varphi_1 < \pi/2$ ($-1 < E_0, \xi^* < 0$). Таким образом, функции ξ^* и τ^* минимальны или максимальны по δ при $\delta = \pi/2$, если переменная ξ изменяется в указанных (дополнительных к предыдущим) областях, а максимальное и минимальное значения функции $I(\xi, \delta)$ равны соответственно

$$\max_{\delta} I(\xi, \delta) = I(\xi, \pi/2) = 4\Pi_v^{-1}(\xi) (1 - \cos \varphi_1) = 4\Pi_v^{-1}(\xi) (1 + \xi) \quad (0 < \xi < 1) \quad (2.11)$$

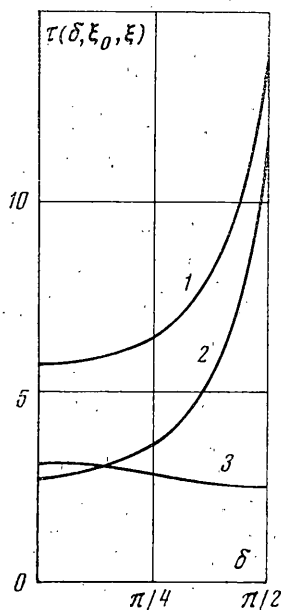
$$\min_{\delta} I(\xi, \delta) = I(\xi, \pi/2) = 4\Pi_v^{-1}(\xi) (1 - \cos \varphi_1) = 4\Pi_v^{-1}(\xi) (1 + \xi) \quad (-1 < \xi < 0)$$

Можно убедиться, что $I(\xi, 0) > I(\xi, \pi/2)$ для $-1 < \xi < 0$ и $I(\xi, \pi/2) > I(\xi, 0)$ для $0 < \xi < 1$.

На фиг. 2, 3 приведены графические зависимости для режима колебаний ($-1 < \xi < 1$), полученные путем численного счета по формуле (2.6). На фиг. 2 приведена зависимость «энергии» ξ от «медленного времени» τ для различных значений угла δ с интервалом $\Delta\delta = \pi/12$. Кривая 1 соответствует $\delta = 0$, а кривая 7 — значению $\delta = \pi/2$. Кривая с $\delta = \pi/12$ практически сливается с первой и поэтому не изображена. Началу кривых ($\tau = 0$) соответствует значение $\xi_0 = -0.999$, т. е. «нижнее положение равновесия». Концу кривых отвечает значение $\xi = 0.999$ и значение времени τ^* , равное времени быстрого действия из состояния покоя в режим вращения. Приведенные графики на фиг. 2 обращением времени дают также решение задачи оптимального быстрого действия торможения колебаний. На фиг. 3 приводятся зависи-



Фиг. 2



Фиг. 3

мости $\tau^*(\delta, \xi_0, \xi)$ времен оптимального быстрого действия из точки ξ_0 в точку ξ как функции угла δ . Так, кривая 1 описывает зависимость от δ времени оптимального быстрого действия из «нижнего в верхнее» положения равновесия, т. е. функцию $\tau(\delta, -0.999, 0.999)$. Далее, кривые 2 и 3 определяют зависимости времен быстрого действия из «нижнего» положения равновесия в состояние с $\xi = 0$ и из состояния $\xi_0 = 0$ в «верхнее» неустойчивое положение равновесия, т. е. функции $\tau(\delta, -0.999, 0)$ и $\tau(\delta, 0, 0.999)$ соответственно. Кривая 1 получается сложением кривых 2 и 3.

Для режима вращений графические зависимости с точностью до линейного преобразования медленного времени τ совпадают с полученными в [3] для системы: $x'' + \sin x = \varepsilon u$, $|u| \leq 1$.

Из изложенного выше можно сделать следующий качественный вывод. В режиме вращений ($\xi > 1$) в первом приближении эффективность управления (2.1) не зависит от $\delta = \text{const}$. В режиме колебаний ($-1 < \xi < 1$), когда

амплитуда колебаний велика ($0 < \xi < 1$, т. е. $\pi/2 < \varphi_1 < \pi$), управляющее воздействие должно быть направлено вертикально ($\delta_{opt} = \pi/2$). Наоборот, если амплитуда колебаний невелика ($-1 < \xi < 0$, т. е. $0 < \varphi_1 < \pi/2$), то эффективность оптимального управления наибольшая, если точка подвеса движется горизонтально ($\delta_{opt} = 0$) (см. фиг. 4). Случай переменного параметра δ не исследовался.

Отметим, что к аналогичной задаче приводится задача оптимального управления движением физического маятника, ось качания и вращения которого может перемещаться параллельно самой себе вдоль направляющей $O's$, наклоненной под углом δ к горизонту, как это изображено на фиг. 1.

Действительно, уравнение движения системы имеет вид

$$(J + ml^2)\varphi'' + mgl \sin \varphi = -m l s'' \cos(\varphi - \delta) \quad (2.12)$$

Здесь J — момент инерции тела относительно оси O , проходящей через центр масс, параллельно оси O' , m — масса маятника, $l > 0$ — плечо. В (2.12) может быть введена безразмерная независимая переменная $\theta = [g / (l + J/ml)]^{1/2} t$ и малое управляющее воздействие $\varepsilon u = s'' g^{-1} = s'' (l + J/ml)^{-1}$, где $|u| \leq 1$. В результате получается уравнение (1.2), для которого можно поставить и решить в первом приближении аналогичные задачи оптимального управления.

3. Обобщение задачи управления. Пусть теперь точка подвеса плоского физического маятника может перемещаться в плоскости качания произвольно: $x_0 = x_0(t)$, $y_0 = y_0(t)$ (см. фиг. 1). Тогда уравнение движения имеет вид

$$(J + ml^2)\varphi'' + mgl \sin \varphi = -ml(y_0'' \sin \varphi + x_0'' \cos \varphi)$$

При помощи использовавшихся выше замен можно получить

$$\varphi'' + \sin \varphi = -\varepsilon(u_y \sin \varphi + u_x \cos \varphi) \quad (3.1)$$

Здесь $l > 0$, а $\varepsilon u_y = y_0'' g^{-1} = y_0'' (l + J/ml)$, $\varepsilon u_x = x_0'' g^{-1} = x_0'' (l + J/ml)$ — малые управляющие воздействия по осям y и x соответственно.

Уравнение для энергии $E = \varphi'^2 / 2 - \cos \varphi$ имеет вид

$$E' = -\varepsilon \varphi' (u_y \sin \varphi + u_x \cos \varphi), \quad E(\theta_0) = E_0, \quad (E_0 \geq -1) \quad (3.2)$$

Ставятся задачи оптимального управления типа (1.4), (1.5)

$$\pm E(\Theta) \rightarrow \min, \quad \Theta \sim 1/\varepsilon; \quad E(\theta_1) = E_1, \quad \varepsilon \theta_1 \rightarrow \min \quad (3.3)$$

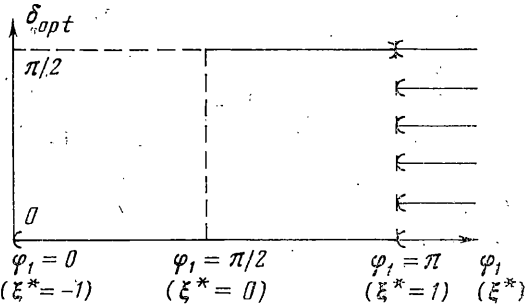
с геометрическими ограничениями на вектор управления $\{u_x, u_y\}$ двух типов

$$|u_x| \leq u_{x0}, \quad |u_y| \leq u_{y0} \quad (3.4)$$

$$a^2 u_x^2 + b^2 u_y^2 \leq u_0^2, \quad a, b \neq 0$$

$$u_x = (\rho/a) \cos \alpha, \quad u_y = (\rho/b) \sin \alpha \quad (0 \leq \rho \leq u_0, \quad 0 \leq \alpha \leq 2\pi) \quad (3.5)$$

Соответствующие усредненные уравнения в медленном времени могут быть записаны при помощи построенной в п. 2 функции I .



Фиг. 4

Для задач (3.2) — (3.4) приближенное оптимальное управление равно $u_x^* = -u_{x0} \operatorname{sign}(p\varphi' \cos \varphi)$, $u_y^* = -u_{y0} \operatorname{sign}(p\varphi' \operatorname{sign} \varphi)$ (3.6)

Здесь $\operatorname{sign} p$ определяется так же, как и в уравнении (2.2). В режиме вращения получается следующее усредненное уравнение (см. (2.3)):

$$\xi_r' = \operatorname{sign} \eta 2\pi^{-1} \omega_r(\xi) (u_{y0} + u_{x0}) = 2(u_{y0} + u_{x0}) r^{-1} K^{-1}(r) \operatorname{sign} \eta, \quad \xi(\tau_0) = E_0 \quad (3.7)$$

В режиме колебаний усредненное уравнение имеет вид (см. (2.10), (2.11))

$$\xi' = [I(\xi, \pi/2) u_{y0} + I(\xi, 0) u_{x0}] \operatorname{sign} \eta \quad (-1 < \xi, E_0 < 1) \quad (3.8)$$

Из построенных уравнений следует, что при $u_{x0} = u_{y0} = 1$ рассматриваемое управление более эффективно, чем в случае (2.12).

Для задачи с ограничениями (3.5) усредненное уравнение имеет вид

$$\xi' = L(\xi) \operatorname{sign} \eta, \quad L(\xi) = u_0 \langle |\varphi'| (b^2 \sin^2 \varphi + a^2 \cos^2 \varphi)^{-1/2} \rangle \quad (3.9)$$

Приближенное оптимальное управление находится также в виде синтеза

$$\begin{aligned} u_x^* &= -u_0 (b^2 \sin^2 \varphi + a^2 \cos^2 \varphi)^{-1/2} \cos \varphi \operatorname{sign} \eta \\ u_y^* &= -u_0 (b^2 \sin^2 \varphi + a^2 \cos^2 \varphi)^{-1/2} \sin \varphi \operatorname{sign} \eta \end{aligned} \quad (3.10)$$

В режиме вращений величина правой части (3.9) равна

$$L_r(\xi) = \frac{4u_0}{a\Pi_r} K\left(\frac{(a^2 - b^2)^{1/2}}{a}\right) \quad (b < a), \quad L_r = \frac{4u_0}{b\Pi_r} K\left(\frac{(b^2 - a^2)^{1/2}}{b}\right) \quad (b > a)$$

При $a = b$ (ограничение «по кругу») $L_r(\xi) = 2\pi u_0 / a\Pi_r(\xi)$. Управление (3.10) при $u_0 = 1$ также более эффективно, чем управление вдоль прямой (2.1).

В режиме колебаний при $0 < \varphi_1(\xi) < \pi/2$

$$L_v(\xi) = \frac{4}{\Pi_v} \int_0^{\varphi_1} \frac{d\varphi}{(b^2 \sin^2 \varphi + a^2 \cos^2 \varphi)^{1/2}} = 4\Pi_v^{-1} a^{-1} F(\varphi_1, (a^2 - b^2)^{1/2} a^{-1}) \quad (a > b)$$

$$L_v(\xi) = 4\Pi_v^{-1} b^{-1} [K((b^2 - a^2)^{1/2} b^{-1}) - F(\pi/2 - \varphi_1, (b^2 - a^2)^{1/2} b^{-1})] \quad (b > a)$$

если $\pi/2 < \varphi_1(\xi) < \pi$, то

$$L_v(\xi) = 4\Pi_v^{-1} a^{-1} [2K((a^2 - b^2)^{1/2} a^{-1}) - F(\pi - \varphi_1, (a^2 - b^2)^{1/2} a^{-1})] \quad (a > b)$$

$$L_v(\xi) = 4\Pi_v^{-1} b^{-1} [K((b^2 - a^2)^{1/2} b^{-1}) + F(\varphi_1 - \pi/2, (b^2 - a^2)^{1/2} b^{-1})] \quad (b > a)$$

Здесь F — эллиптический интеграл первого рода. При $a = b$ выражения упрощаются: $L_v(\xi) = 4\varphi_1(\xi) / a\Pi_v(\xi)$ (см. п. 2).

Так как уравнения (3.7) — (3.9) допускают разделение переменных, то окончательное решение задачи оптимального управления сводится к квадратурам и конечным уравнениям.

Авторы благодарят Ф. Л. Черноуцко за внимание к работе и ценные замечания.

ЛИТЕРАТУРА

Поступила 17 II 1975

1. Волосов В. М., Моргунов В. И. Метод осреднения в теории нелинейных колебательных систем. М., Изд-во МГУ, 1971.
2. Акуленко Л. Д. О резонансных колебательных и вращательных движениях. ПММ, 1968, т. 32, вып. 2.
3. Акуленко Л. Д., Черноуцко Ф. Л. Метод осреднения в задачах оптимального управления. Ж. выч. матем. и матем. физ., 1975, т. 15, № 4.
4. Понтрягин Л. С., Болтянский В. Г., Гамкрелидзе Р. В., Мищенко Е. Ф. Математическая теория оптимальных процессов. М., «Наука», 1969.